

بررسی اثر پرتو الکترونی بر چند مخلوط پلی اتیلن

Investigation of the Effect of Electron Beam on Various Polyethylene Blends

جلیل مرشدیان*، عباس پوررشیدی[†]

۱- تهران، پژوهشگاه پلیمر و پتروشیمی ایران، پژوهشکده فرایند، صندوق پستی ۱۴۹۶۵/۱۱۵

۲- یزد، بزد تایر، شرکت پیشگامان، صندوق پستی ۸۹۱۶۵/۵۵۷

دریافت: ۸/۱۲/۲۹، پذیرش: ۸/۱۸/۲۹

چکیده

با توجه به استفاده روز افزون از پرتوهای الکترونی در صنایع پلیمری در زمینه هایی نظیر گندزدایی محصولات یکبار مصرف پژوهشکی، تولید کالیل، لوله و محصولات منقبض شونده اثر این پرتو بر چند مخلوط پلی اتیلن بررسی شد. نتایج نشان می دهد که با افزایش شار، چگالی پیوندهای عرضی در نمونه ها افزایش می یابد و تغییرات فاحشی در خواص نمونه ها نظیر دمای ذوب درصد بلورینگی، دمای تخریب و خواص فیزیکی و مکانیکی ایجاد می شود. در ضمن، نمونه ها در دمای بالا حالت الاستومری به خود می گیرند. این افزایش چگالی پیوندهای عرضی در پلیمرهای دارای کربن نوع سوم شدیدتر است. استفاده از مواد افزودنی نظیر متاکریلیک اسید بازده تولید پیوندهای عرضی را افزایش می دهد، اما دی کومیل پروکسید، مشکلات فرایندی حادی را ایجاد می کند.

واژه های کلیدی

مخلوطهای پلی اتیلن،
پرتو الکترونی،
HDPE, EVA, LDPE

مقدمه

است. در این میان با توجه به پیشرفت های حاصل در زمینه ساخت تجهیزات تولید کننده پرتوهای الکترونی با قدرت و شار متنوع و ایمنتر بودن این فناوری نسبت به فرایند تولید پرتو گاما، این تجهیزات جایگاه ویژه ای را در صنایع پلیمری به خود اختصاص داده اند [۳، ۴]. از زمرة رایج ترین

سالهای است که پرتوهای یون کننده به عنوان منابع انرژی شناخته شده در عرصه های مختلف علمی و صنعتی به کار گرفته شده اند [۱، ۲]. تحقیقات گسترده ای پیرامون بررسی اثر این پرتوها بر پلیمرهای مختلف بویژه پلی اولفینها، به عنوان پرمصرف ترین پلیمرها، انجام پذیرفته

Key Words

Polyethylene blends,
electron beam,
HDPE, EVA,
LDPE

جدول ۱- مشخصات مواد مصرف شده.

ردیف	نام ماده	نام تجاری	تولید کننده	جرم حجمی (g/cm³)	MFI (g/10 min)	دماه ذوب (°C)
۱	LDPE	LH۰۰۷۵	پتروشیمی بندر امام	۰/۹۲	۰/۷	۱۱۵/۶۹
۲	HDPE	HD۳۸۴۰UA	پتروشیمی اراک	۰/۹۳	۲/۵	۱۲۹/۱۶
۳	LLDPE	LLD۴۱۰AA	پتروشیمی اراک	۰/۹۳	۰/۹۳	۱۲۷/۸۱
۴	EVA	Escorene Ultra	Exxon Chemical	۰/۹۴	۱/۴	۸۲/۱۲
۵	DCP	—	Merck	۱/۰۲	—	۴۹
۶	متاکریلیک اسید	—	Merck	۱/۰۱	—	۱۶۲
۷	دوده	N-۳۳۰	کربن بلک اهواز	۱/۸	—	—

ضریب پرشدگی (packing factor) (۰/۷) و چگالی مواد اولیه، مقدار هر ماده با توجه به هشت فرمولیندی ارائه شده در جدول ۲ توزین شد. فرمولیندیها بر اساس اطلاعات حاصل از تجزیه و شناسایی چند نمونه تجاری انتخاب شده اند.

برای اختلاط مواد هر فرمولیندی، سرعت مخلوط کن ۸۰ rpm و دمای بدنه مخلوط کن در ۲۵°C تنظیم می شود. در مرحله اول اختلاط، هر دو پلیمر باهم وارد مخلوط کن می شوند. پس از گذشت حدود ۱۰۰ ثانیه گشتاور اعمال شده روی مواد افت می کند، بنابراین در مورد فرمولیندیها دارای مواد افزودنی باید این مواد در لحظه افت گشتاور به مخلوط اضافه شوند. آن گاه، اختلاط تا دستیابی به یک مخلوط همگن ادامه می یابد. زمان کل اختلاط مواد تقریباً سه دقیقه است. در پایان، مخلوط از مخلوط کن تخلیه شده و به کمک گیره بین دو صفحه فلزی فشرده می شود.

در ادامه کار، به کمک دو ورقه آلومینیمی چرب شده با روغن سیلیکون و یک قاب فلزی با ضخامت ۱/۵ mm، در دمای ۱۴۵°C و فشار ۱۵ MPa نمونه ها پرس می شوند و به محض بسته شدن پرس، در حالی که فشار ثابت نگه داشته می شود، گرمکن پرس خاموش می شود و آب سرد در فکها جریان می یابد تا دمای آنها به ۶°C برسد. سپس، پرس باز شده و نمونه ها به شکل ورقه از قالب جدا می شود و به وسیله دستگاه پانچ از ورقه ها دمبل تهیه می گردد.

در مرحله بعد، دمبلهای به کمک دستگاه تولید کننده پرتو الکترونی با پرتوی دارای انرژی Mev ۵ و جریان ۰/۵ mA و سرعت اعمال شار ۲۸۸۰ kGy/h در فاصله ۴۶ cm از تفنگ الکترونی و در دمای ۲۵°C پرتودهی می شود. دمبلهای هر مجموعه از نمونه ها به پنج دسته تقسیم

صنایع پلیمری که از این فناوری بهره می گیرند صنایع تولید کابل و قطعات منقبض شونده گرمایی است [۱۵، ۱۶]. در این پژوهش، به کمک تجزیه و شناسایی چند نمونه تجاری، سه ترکیب پلیمری پایه انتخاب شد و در ادامه اثر مواد افزودنی و اثر اعمال پرتو بر آنها ارزیابی شده است.

تجربی

مواد

مشخصات مواد مصرف شده در جدول ۱ ارائه شده است.

دستگاهها

در این پژوهش، از مخلوط کن داخلی هکه مدل RC۹۰، دستگاه تولید کننده پرتو الکترونی مدل Rhodotron TT۲۰۰ ساخت شرکت (Ion Beam Application) IBA ساخت شرکت Instron، دستگاه STA ۶۲۵ مدل DSC-TG ساخت شرکت Polymer Lab، دستگاه اندازه گیری شاخص جریان Mazab (MFI) مدل ۴۱۰۰ از شرکت Extrusion Plastometer Zwick برای تعیین سختی نمونه ها استفاده شده است.

روشها

تهیه نمونه ها

در این مرحله با توجه به حجم مخلوط کن داخلی و نیز در نظر گرفتن

جدول ۲- ترکیب درصد فرمولیندیهای ساخته شده.

'CB	'MAA	DCP	LLDPE	HDPE	LDPE	EVA	نمونه
۲/۵	—	—	—	—	۷۰	۳۰	IS ۱۱
۲/۵	—	۲	—	—	۷۰	۳۰	IS ۱۲
۲/۵	—	—	۶۰	۴۰	—	—	IS ۲۱
۲/۵	—	۲	۶۰	۴۰	—	—	IS ۲۲
۲/۵	۲	—	۶۰	۴۰	—	—	IS ۲۳
۲/۵	—	—	—	۴۰	—	۶۰	IS ۳۱
۲/۵	—	۲	—	۴۰	—	۶۰	IS ۳۲
۲/۵	۲	—	—	۴۰	—	۶۰	IS ۳۳

(۱) متاکریلیک اسید و (۲) دوده.

سکانت در ۲ درصد کرنش، کرنش در نقطه پارگی(δ_b) و مقاومت کششی نمونه ها (δ_b) گزارش شدند. برای ارزیابی اثر شبکه ای شدن بر میزان بلورینگی نمونه ها و دمای ذوب و تحریب آنها و نیز تعیین گرمای نهان ذوبشان، آزمایش های TGA و DSC انجام گرفت. سرعت گرم کردن نمونه ها $10^{\circ}\text{C}/\text{min}$ بود و به نمونه ها از 25°C تا 500°C در مجاورت هوا گرماده شد.

جرم حجمی نمونه ها به کمک روش استاندارد ASTM D792 معین گردید. اندازه گیری شاخص جریان مذاب مواد اولیه طبق استاندارد D1228 ASTM انجام شد. وزنه بکار رفته برای مواد اولیه $2/16 \text{ kg}$ و در مورد مخلوطها $2/6 \text{ kg}$ بود. آزمون سختی نمونه ها در مقیاس سور D استاندارد ASTM D2240 انجام شد.

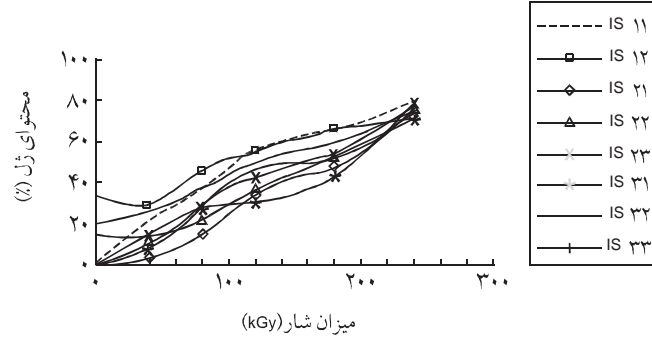
شده و به هر دسته شاری معادل یکی از شارهای $40, 80, 120, 180$ و 240 kGy اعمال می شود. به علت گرم شدن نمونه ها، شارهای 180 و 240 kGy ، به ترتیب در دو مرحله 90 kGy و سه مرحله 80 kGy به نمونه ها داده می شوند.

آزمونها

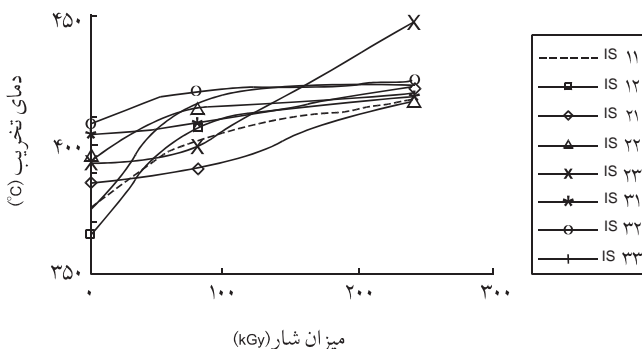
میزان ژل شدن نمونه ها بر اساس استاندارد ASTM D 2765 معین شد. آزمون کشش به وسیله دستگاه کشش و بر اساس استاندارد ASTM D638 انجام پذیرفت. آزمون کشش در دو دما، یکی دمای محیط و دیگری 10°C بالاتر از دمای ذوب نمونه ها انجام شد. در دمای محیط، نمونه ها با سرعت 50 mm/min و در دمای بالا با سرعت 10 mm/min کشیده شدند. در نهایت، با استفاده از نتایج حاصل از این آزمایش، مدول

نتایج و بحث

شکل ۱ محتوای ژل نمونه ها را بر حسب شار اعمال شده به آنها بیان می کند. با توجه به این شکل می توان به نتایج زیر دست یافت: در همه موارد با افزایش شار، محتوای ژل افزایش می یابد که این امر حاکی از افزایش چگالی پیوندهای عرضی است. در مورد نمونه های دارای DCP ملاحظه می شود که در شار صفر محتوای ژل قابل توجهی دارند. علت این است که در حین اختلاط DCP با هر سه فرمولیندی پایه مقداری از DCP تجزیه و منجر به شبکه ای شدن نمونه ها شده است.



شکل ۱- محتوای ژل نمونه ها بر حسب شار اعمال شده.



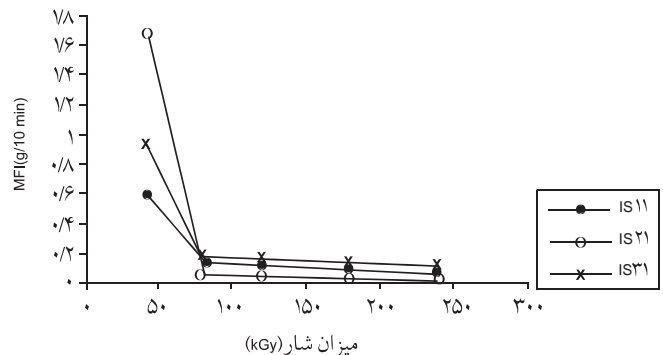
شکل ۴- دمای تخریب نمونه ها بر حسب شار اعمال شده.

تغییر محسوسی نمی کند، زیرا نمونه ها گرماترمند و میزان پیوندهای عرضی در حدی نیست که ماده را شکننده کند و سختی نمونه ها را تحت تأثیر قرار دهد.

با توجه به شکل ۲ ملاحظه می شود که با اعمال شار به نمونه ها، MFI آنها به علت ایجاد پیوندهای عرضی بین زنجیر پلیمرها بشدت کاهش می یابد و در شارهای کم MFI آمیزه ها بدین ترتیب است: IS²¹>IS³¹>IS¹¹ که این امر مؤید بازده بیشتر تولید رادیکال آزاد در نمونه های دارای LDPE و EVA است.

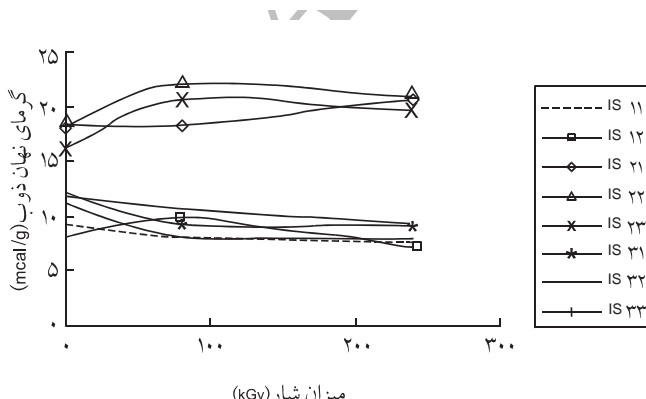
در شکل ۳ نتایج حاصل از آزمون گرمایی نمونه های گرم شده در ۱۰°C بالاتر از دمای ذوب شده است. با افزایش شار، دمای ذوب عموماً کاهش می یابد. این امر مؤید افزایش میزان پیوندهای عرضی و در نتیجه افزایش نقصهای مولکولی در ساختار عمومی زنجیرها، به علت ممانعتهای فضایی حاصل و در نتیجه کاهش میزان نواحی بلورین است. اما، در برخی از موارد با اعمال شار دمای ذوب ابتدا افزایش وسیپس کاهش می یابد که افزایش اولیه احتمالاً به علت پاره شدن زنجیرهای تحت کشش و قرار گرفتن آنها در ساختار بلورین است [۷].

نتایج حاصل از TGA در شکل ۴ نشان می دهد که با افزایش میزان اتصالات عرضی مقاومت گرمایی نمونه ها افزایش و دمای تخریب آنها

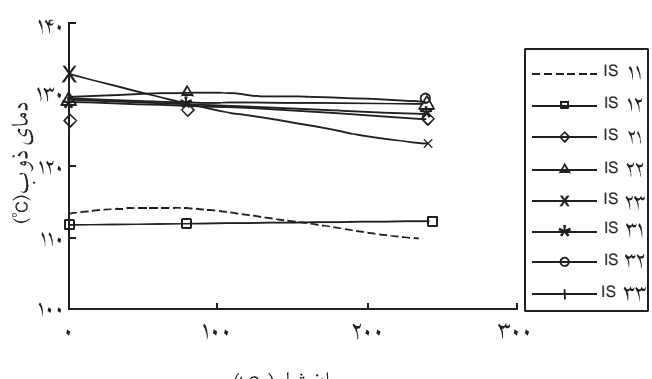
شکل ۲- مقدار MFI نمونه های IS¹¹ و IS²¹ و IS³¹ بر حسب شار اعمال شده.

در محدوده شارهای صفر تا ۲۰۰ kGy ۲۰۰ آمیزه های دارای متاکریلیک اسید محتوای ژل زیادتری نسبت به فرمولیندی پایه دارند، اما در شارهای بالاتر این اثر مشهود نیست. بر این اساس در شارهای کم متاکریلیک اسید توانسته است تولید رادیکاهای آزاد را شتاب بخشد و چگالی پیوندهای عرضی را افزایش دهد.

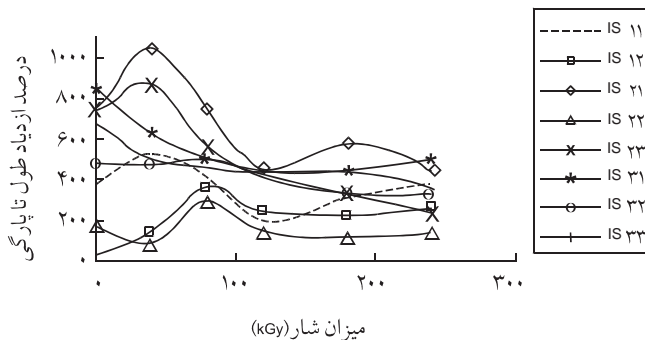
با مقایسه سه فرمولیندی پایه ملاحظه می شود که محتوای ژل نمونه ها به این ترتیب است: IS¹¹>IS³¹>IS²¹. علت این است که فرمولیندی IS¹¹ دارای EVA و LDPE است و به علت داشتن ساختار شاخه ای تر، دارای کربن نوع سوم بیشتر و جزء بلورین کمتر است. از این رو، در نمونه مزبور قابلیت تولید رادیکال آزاد و در نتیجه شبکه ای شدن زیادتری وجود دارد. اما، IS³¹ دارای EVA و HDPE است و HDPE در مقایسه با LDPE ساختاری خطیتر و جزء بلورین بیشتری دارد، در نتیجه دارای محتوای ژل کمتری نسبت به IS¹¹ است. به همین ترتیب IS²¹ دارای HDPE و LLDPE است. از این رو، با توجه به سازگاری بیشتر این مخلوط در سطح مولکولی و در نتیجه ساختار خطی و بلورین بهتر دارای حداقل قابلیت تولید رادیکال آزاد و در نتیجه ژل شدن است. بررسی سختی نمونه ها نیز نشان می دهد که سختی نمونه های گروه ۱، ۲ و ۳ به ترتیب در حد ۴۳، ۵۶ و ۵۸ شور D است و با اعمال شار



شکل ۵- گرمایی نهان ذوب نمونه ها بر حسب شار اعمال شده.



شکل ۳- دمای ذوب نمونه ها بر حسب شار اعمال شده.



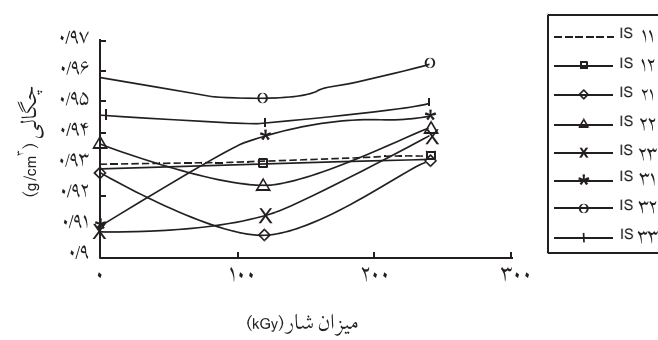
شکل ۸- ازدیاد طول تا پارگی نمونه ها در دمای محیط بر حسب شار اعمالی.

عنوان نرم کننده است که بین زنجیرهای پلیمر فاصله انداخته و بلورینگی نمونه ها را کاهش داده است [۹]. در فاصله شارهای صفر kGy تا ۶۰ kGy استحکام کششی نمونه های دارای متاکریلیک اسید خیلی سریعتر از نمونه های دیگر افزایش می یابد که این موضوع نشان دهنده کارایی متاکریلیک اسید برای افزایش سرعت تولید پیوندهای عرضی است.

در شارهای بالاتر، استحکام کششی واژدیاد طول تا پارگی نمونه ها دستخوش نوسانات زیادی می شوند. باید اذعان کرد که هنوز توجیه علمی دقیقی در مورد این تغییرات وجود ندارد زیرا در مورد پلی اولفینها به علت ساختار بلورینشان مسائل خاصی وجود دارد و بطور همزمان چند عامل تغییر می کند که هر کدام می تواند خواص فیزیکی و مکانیکی نمونه را به شکل متفاوتی تحت تاثیر قرار دهد:

- بر اثر پرتودهی، چگالی پیوندهای عرضی در نواحی بی شکل و نواحی بین فازها بالا می رود، در نتیجه ابتدا استحکام کششی افزایش می یابد. اما، در درصد های زیاد پیوندهای عرضی بعلت سفت شدن ماده، استحکام کششی کاهش می یابد [۷].

۲- در شارهای زیاد بر اثر اعمال پرتو به نمونه، ماده تا حدود ناحیه انتقال شیشه ای خود گرم می شود و پیوندهای عرضی حاصل مانع نزدیک شدن زنجیرهای ماده به یکدیگر می شود و درصد بلورینگی را



شکل ۶- چگالی نمونه ها بر حسب شار اعمال شده.

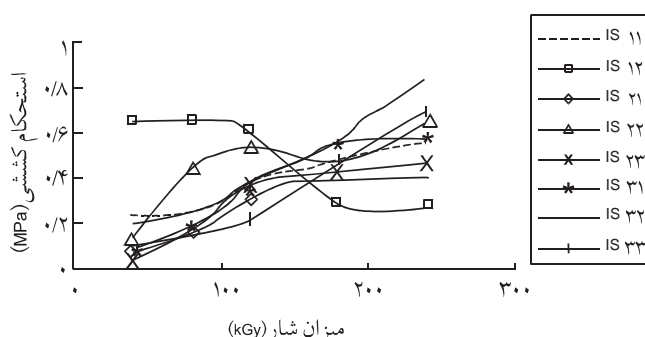
روند صعودی می یابد.

نمودار گرمای نهان ذوب نمونه ها (ΔH_F) در شکل ۵ نشان می دهد که عموماً ΔH_F با افزایش شار کاهش می یابد. تنها در مورد چند نمونه ΔH_F ابتدا افزایش و سپس کاهش می یابد که این امر می تواند به علت پاره شدن زنجیرهای تحت کشش و قرار گرفتن آنها در بخش های بلورین باشد [۷].

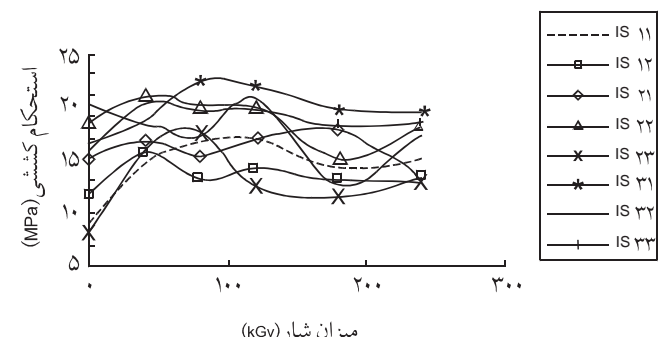
ارزیابی چگالی نمونه ها در شکل ۶ نشان می دهد که اغلب چگالی نمونه ها ابتدا افت می کند و سپس افزایش می یابد. افت اولیه به علت تشکیل پیوندهای دوگانه بر اثر آزاد شدن گاز هیدروژن و احتمالاً تبخیر متاکریلیک اسید است [۶]. اما، افزایش چگالی احتمالاً به علت واکنش های اکسایش است، زیرا نمونه ها در معرض هوا پرتو داده شده است و زمان پرتودهی در شارهای بالا به حدی بوده است که اکسیژن حل شده در نمونه ها بتواند با آنها واکنش دهد [۸].

با بررسی استحکام کششی و ازدیاد طول تا پارگی نمونه ها در شکلهای ۷ و ۸ نتایج زیر حاصل می شود:

در هر گروه، نمونه های پرتو ندیده دارای پر کسید استحکام کششی بیشتری دارند که این به علت شبکه ای شدن آنها جین فرایند اختلاط است. از طرف دیگر، نمونه های دارای متاکریلیک اسید کمترین مقدار استحکام کششی را دارند که این امر به دلیل وجود متاکریلیک اسید به



شکل ۹- استحکام کششی نمونه ها در دمای ۱۴۰°C بر حسب شار اعمال شده.



شکل ۷- استحکام کششی نمونه ها در دمای محیط بر حسب شار اعمالی.

جدول ۳ - مدول نمونه ها در 10°C بالاتر از دمای ذوب آنها بر حسب شار اعمال شده.

IS ۳۳	IS ۳۲	IS ۳۱	IS ۲۳	IS ۲۲	IS ۲۱	IS ۱۲	IS ۱۱	میزان شار (kGy)
۰/۲۱	۰/۰۵	۰/۱۸	۰/۳۰	۰/۸۰	۰/۱۲	۰/۷۱	۰/۲۲	۴۰
۰/۲۴	۰/۳۳	۰/۲۳	۰/۳۸	۷/۵۳	۰/۳۹	۷/۰۵	۰/۲۶	۸۰
۰/۲۹	۰/۸۵	۰/۳۲	۰/۴۲	۰/۹۹	۰/۴۵	۰/۷۳	۰/۳۱	۱۲۰
۰/۵۲	۰/۸۴	۰/۴۶	۰/۵۴	۱/۱۶	۰/۵۳	۰/۳۲	۰/۴۰	۱۸۰
۱/۳۲	۱/۲۲	۰/۹۰	۰/۹۹	۷/۲۸	۰/۷۵	۰/۳۶	۰/۵۵	۲۴۰

با توجه به اینکه در مواد نیمه بلوری، استحکام کششی تابعی از درصد بلورینگی، اندازه بلورها، توزیع اندازه بلورها و نیز درصد پیوندهای عرضی و درصد پارگی زنجیرهای است می‌توان این گونه نتیجه گرفت که برایند فعل و افعالات یاد شده تعیین کننده است.

در بخش دیگری از این پژوهش، خواص فیزیکی و مکانیکی پلیمرها در دمای بالا (10°C بالاتر از دمای ذوب نمونه ها) ارزیابی شد. نتایج ارائه شده در شکلهای ۹ و ۱۰ نشان می‌دهد که با افزایش شار، چگالی پیوندهای عرضی در نمونه ها افزایش می‌یابد و نمونه ها حالت الاستومری بخود می‌گیرند که عموماً استحکام آنها افزایش و ازدیاد طول تا پارگیشان کاهش می‌یابد. اما، در مورد نمونه IS ۱۲ استحکام کششی روند نزولی دارد. علت این است که در حین اختلاط آن، DCP تجزیه شده و نمونه شبکه ای می‌شود و احتمالاً نمونه حاصل تحت شرایط پرتودهی، به علت دارا بودن زنجیرهای تحت کشش، تخریب می‌گردد. اطلاعات ارائه شده در جدول ۳ نیز نشان دهنده این امر است که با افزایش شار، پیوندهای عرضی افزایش می‌یابد وعلاوه بر این در هر گروه، نمونه های دارای متاکریلیک اسید درهمه شارها مدول بالاتری نسبت به نمونه پایه دارند که این خود نشان دهنده اثر شتاب دهنده متاکریلیک اسید است.

نتیجه گیری

با افزایش شار، چگالی پیوندهای عرضی در نمونه ها افزایش می‌یابد. پلی اتیلن های شاخه ای و EVA به علت داشتن کربن نوع سوم و فاز بی شکل بیشتر، قابلیت شبکه ای شدن زیادتری دارند. استفاده از DCP به علت ایجاد محدودیت در فرایند آمیزه کاری مناسب نیست، اما

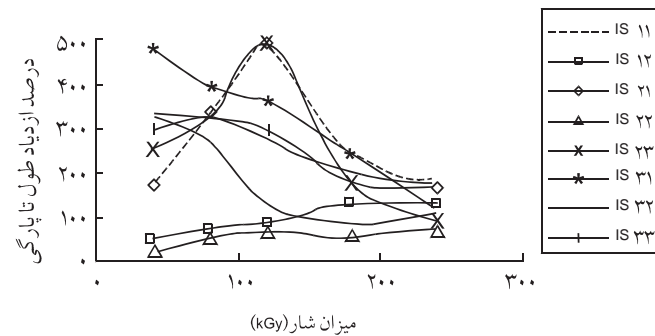
کاهش می‌دهد [۱۰].

۳- بر اثر پرتودهی، زنجیرهای تحت کشش و شاخه های فرعی قطع می‌شوند و در نتیجه زنجیرهای ماده تحرک لازم برای نوآرایی فضایی و شرکت در بلورها را پیدا می کنند.

۴- رادیکالهای تولیدی با اکسیژن حل شده در فاز بی شکل واکنش داده و تخریب اکسایشی زنجیرهای شروع می‌شود و در نتیجه ساختارهای شبکه ای بزرگ به شبکه های کوچک تبدیل می شوند [۷، ۸].

۵- وجود مواد افزودنی گاهی موجب می‌شود که این مواد نقش هسته سازها را بعده بگیرند و در نتیجه درصد بلورینگی را افزایش دهند [۱۱]، اما گاهی ممکن است مواد افزودنی مثل نرم کننده داخلی باشند و درصد بلورینگی را کاهش دهند [۹].

۶- در حین پرتودهی، علاوه بر واکنشهای شبکه ای شدن، واکنشهای تخریب زنجیر نیز بطور همزمان شروع می‌شوند و بسته به اینکه کدام واکنش برتر باشد پلیمر شبکه ای یا تخریب می‌شود. بنابراین، در شارهای بالا، احتمال بیشتر شدن واکنشهای پاره شدن زنجیرهای افزایش می‌یابد.



شکل ۱۰ - ازدیاد طول تا پارگی نمونه هادر دمای 140°C بر حسب شار اعمال شده.

می کند. استحکام کششی نمونه ها در دمای بالا عموماً با زیاد شدن شار افزایش می یابد و از دیاد طول تا پارگی عموماً کاهش پیدا می کند. آمیزه های دارای HDPE و LLDPE در کلیه دمایها از دیاد طول تا پارگی زیادتری دارند که این به علت سازگاری مولکولی بهتر این آمیزه هاست.

متاکریلیک اسید در شارهای کم مناسب است. سختی نمونه ها بر اثر اعمال شار تغییر محسوسی نمی کند. MFI نمونه ها طی پرتودهی کم می شود و عملاً نمونه ها قابلیت جاری شدن را از دست می دهند و در دمای بالا به صورت الاستو默 عمل می کنند. دمای ذوب و میزان بلورینگی بر اثر پرتودهی کاهش می یابد و دمای تخریب افزایش پیدا

مراجع

1. پرنیانپور پرویر، مبانی فیزیک پرتوها و پرتوزاهای، مؤسسه خدمات فرهنگی - انتشاراتی است، تهران، صفحه ۲۵، ۱۳۷۰.
2. Bradley R., *Radiation Technology Handbook*, Marcel Dekker, New York, 1984.
3. Scharf W., *Particle Accelerators and their Uses*, Harwood Academic, New York, 1986.
4. Abramyan E.A., *Industrial Electron*, Washington D.C., USA, 1988.
5. Cleland M.R. and Pageau G.M., *Proceeding of the Symposium on Food Irradiation Processing*, STI/ PUB/695 , International Atomic Energy Agency, Vienna, 1985.
6. Chapiro A., *Radiation Chemistry of Polymeric Systems*, John Wiley & Sons , USA, 1962.
7. Geetha R., and Torikai A., Radiation-induced Degradation of Polyethylene:Effect of Processing and Density on the Chemical Changes and Mechanical Properties, *Polym. Deg. Stab.*, **23**, 91-98, 1988.
8. Datta S.K., Bhowmick A.K., Chaki T.K., Majala A.B. and Deshpande R.S., Electron Beam Initiated Modification of Ethylene Vinyl Acetate Using Trimethylolpropane Trimethacrylate, *Polymer*, **37**, 45-55, 1996.
9. Chaki T.K., Despande Majali A.B., Tikku V.K. and Bhowmick A.K., Electron Beam Initiated Grafting of Methymethacrylate onto Polyethylene : Structure and Properties, *Die Angew. Makromol. Chem.*, **217**, 61-69, 1994.
10. Zoepfl F.J., Markovic V., and Silverman J., Differential Scanning Calorimetry Studies of Irradiated Polyethylene: I. Melting Temperatures and Fusion Endotherms, *J. Polym. Sci., Polym. Chem. Ed.*, **22**, 2017-2032, 1984.
11. Mateev M. and Nikolova M., Radiation Crosslinking of LDPE in the Presence of Dicumyl Peroxide, *Plast. Rubber Proc. Appl.*, **14**, 241-243, 1990.